

кристаллизация (ЭК) с образованием  $\alpha$ -Fe и  $\gamma$ - $Fe_2O_3$ . Конденсаты хрома кристаллизовались с образованием выделений Cr и  $Cr_2O_3$  в ориентации (001). Тип реакций кристаллизации также зависел от температуры и скорости нагрева образцов.

Таким образом, обнаружен эффект образования аморфных конденсатов железа и хрома без специального введения аморфизирующих примесей. Состав конденсатов может быть описан формулой  $M_xO_y$ , т.к. основной примесью является кислород, концентрация которого увеличивается при вылеживании пленок на воздухе.

### Л и т е р а т у р а

- [1] Leung P.K., Wright J.G. - Phil. Mag., 1974, v. 30, N 5, p. 995-1008.
- [2] Bennett M.R., Wright J.G. - Phys. status solidi (a), 1972, v. 13, N 1, p. 135-144.
- [3] Wang R., Merz M.D. - Phys. status solidi (a), 1977, v. 39, N 2, p. 697-703.
- [4] Металлические стекла. Ионная структура, электронный перенос и кристаллизация / Под ред. Г. Бека и Г. Гюнтеродта. М.: Мир, 1983, 376 с.

Поступило в Редакцию  
21 июля 1988 г.

Письма в ЖТФ, том 14, вып. 23

12 декабря 1988 г.

### ВОЗМОЖНОСТЬ СИНТЕЗА АЛМАЗА С ПОМОЩЬЮ ИМПУЛЬСНОГО СВЕРХСИЛЬНОГО МАГНИТНОГО ПОЛЯ

В.В. Дружинин, О.М. Таценко,  
С.А. Воскобойник

Существующие методы синтеза алмаза при сжатии графита с помощью ударной волны характеризуются очень сильным нагревом углерода, что приводит к графитизации алмаза и малому полезному выходу [1, 2]. Скорость нагружения образца в этом случае характеризуется очень малыми временами  $\approx 1$  мкс и адиабатический процесс носит необратимый характер, что ведет к росту энтропии и нагреву до 3500-4000 К. Существующие методы генерации сверхсильных магнитных полей до  $10^3 T_A$  [3, 4] можно использовать для создания высоких и сверхвысоких давлений достигающих 400 ГПа [5]. При этом сжимаемый образец помещается в металлическую трубочку, толщина стенок которой больше скин-слоя данного металла. В экспериментах по люминесценции рубина было зафиксировано

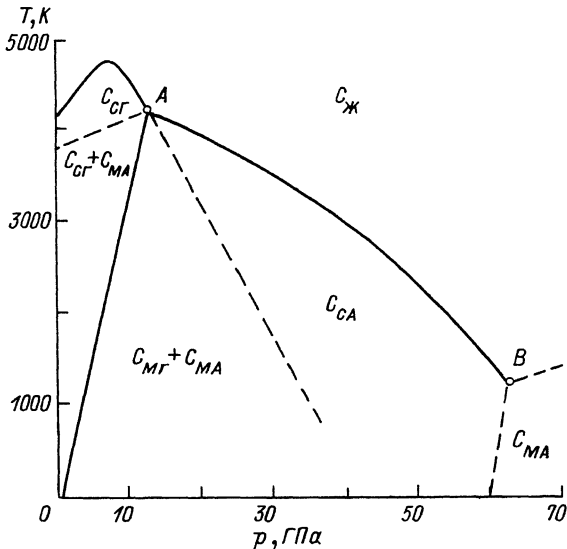


Рис. 1. Фазовая диаграмма углерода: \$C\_{Ж}\$ – жидкость, \$C\_{СA}\$ – стабильный, \$C\_{MA}\$ – метастабильный алмаз, \$C\_{СГ}\$ и \$C\_{MГ}\$ – стабильный и метастабильный графит, \$C\_{МА}\$ – металлический алмаз, А и В – тройные точки.

давление магнитного поля до 100 ГПа в динамических условиях [6], что значительно превышает давления, необходимые для синтеза алмаза (см. рис. 1). Такое сжатие имеет более медленный фронт нарастания \$\approx 10\$ мкс, что ведет к тому, что адиабатический процесс можно считать приближенно обратимым, т.е. энтропия образца сохраняется и нагрев углерода является не таким сильным как в ударной волне. На рис. 2 приведена типичная кривая нарастания поля [7] и связанная с ней зависимость \$\rho(t) = 10^7 B^2 / 8\pi\$. Определим нагрев углерода, считая приближенно процесс изоэнтропическим. Второе начало термодинамики в этом случае

$$dS = c_V \cdot \left[ \frac{dT}{T} + \gamma(V) \cdot \frac{dV}{V} \right], \quad (1)$$

где \$\gamma(V)\$ – коэффициент Грюнайзена сводится к дифференциальному уравнению

$$\frac{dT}{T} = -\gamma(V) \cdot \frac{dV}{V} \quad (2)$$

с начальным условием \$T(V\_0) = T\_0\$. Зависимость температуры от объема в этом случае имеет вид

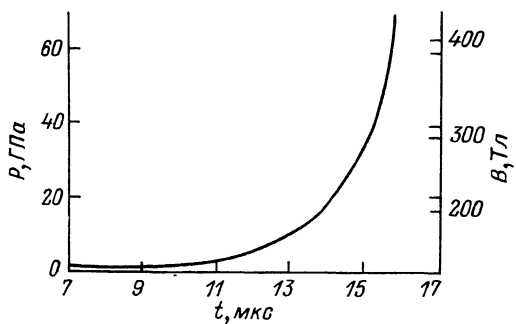


Рис. 2. Типичная кривая нарастания импульсного поля и создаваемое им давление.

$$T(V) = T_0 e^{-\int \frac{\gamma'(V)}{V} dV}. \quad (3)$$

Для графита при  $\rho < 10$  ГПа  $\gamma' \approx 0.78-0.85$ , при  $\rho > 10$  ГПа  $\gamma' = 1.5-2.6$ , у алмаза  $\gamma' = 1.42$ . Приближенно считая  $\gamma'(V) \approx \gamma'_0$ , получаем

$$T = T_0 \left( \frac{V_0}{V} \right)^{\gamma'_0}. \quad (4)$$

В случае  $\gamma'_0 = 1.5$  получаем  $T = 2 \cdot T_0$ . Таким образом, нагрев углерода при сжатии магнитным полем дает возрастание температуры примерно вдвое. Этот факт подтверждается анализом сжатия сапфира и рубина магнитным полем до 100 ГПа [6]. В силу этого сжатие графита импульсным полем, с одной стороны, способствует образованию более крупных микрокристаллов (по оценкам до 200 мкм) по сравнению со сжатием в ударной волне (20 мкм), с другой стороны, препятствует графитизации алмаза, т.е. увеличивает полезный выход в одном импульсе сжатия.

Сжатие графита магнитным полем, по-видимому, является также новой возможностью проникнуть в область фазовой диаграммы (рис. 1), соответствующей гипотетическому металлическому алмазу ( $\rho > 60$  ГПа,  $T < 1000$  К). Таким образом, наличие магнитного поля между графитом и налетающей ударной волной играет роль демпфера и улучшает условия синтеза алмаза. Если импульсное поле достигает 350 Тл, то начальную температуру образца следует брать  $T_0 \approx (600-700)$  К. Согласно фазовой диаграмме, конечное состояние углерода попадает в область существования стабильного алмаза ( $T = 1200-1400$  К,  $\rho \approx 50$  ГПа).

- [1] Н о в и к о в Н.В., К и с л ы й П.С., А и д р е е в В.Д., И в а х н е н к о С.А. Сб. ст. Синтез сверхтвердых материалов, т. 1, Киев: Наукова думка, 1986, с. 10-36.
- [2] A l d e r P.J., C h r i s t i a n R.H. - Phys. Rev. Lett., 1961, v. 7, N 10, p. 367-369.
- [3] F o w l e r C.M. - Scince, 1973, v. 180, p. 261-275.
- [4] П а в л о в с к и й А.И., К о л о к о л ь ч и к о в Н.П., Д о л о т е н к о М.И., Б ы к о в А.И. - П Т Э, 1975, № 5, с. 195-199.
- [5] П а в л о в с к и й А.И., К о л о к о л ь ч и к о в Н.П., Д о л о т е н к о М.И., Б ы к о в А.И. - Письма в ЖЭТФ, 1978, т. 27, № 5, с. 283-285.
- [6] П а в л о в с к и й А.И., Д р у ж и н и н В.В., Т а - це н к о О.М., В ол к о в А.А., Д о б р у н и к М.В., П л а т о н о в В.В., С о с н и н П.В. - Письма в ЖТФ, 1986, т. 12, № 22, с. 1356-1360.
- [7] П а в л о в с к и й А.И., Д р у ж и н и н В.В., Т а це н - к о О.М., К о л о к о л ь ч и к о в Н.П., Б ы к о в А.И., Д о л о т е н к о М.И. - Письма в ЖЭТФ, 1980, т. 31, № 10, с. 659-662.

Московский инженерно-  
физический институт

Поступило в Редакцию  
14 июня 1988 г.

Письма в ЖТФ, том 14, вып. 23

12 декабря 1988 г.

ПРОСТРАНСТВЕННОЕ РАСПРЕДЕЛЕНИЕ НЕРАВНОВЕСНЫХ  
НОСИТЕЛЕЙ В МОНОЛИТНЫХ ПРИМЕСНЫХ ПРИЕМНИКАХ  
ИЗОБРАЖЕНИЯ С ПЛОСКОЙ АМПЛИТУДНОЙ РЕШЕТКОЙ  
НА ПОВЕРХНОСТИ

В.М. Г р и м б л а т о в, В.Г. И в а н о в,  
Э.Т. Р о г о в с к а я, Г.И. С а л и с т р а

Фотоприемные матрицы со сплошным фоточувствительным слоем на основе компенсированных полупроводников являются объектом интенсивных исследований и приложений [1]. Один из элементов таких приемников [2, 3] - плоские металлические решетки адресных шин на основаниях легированной полупроводниковой пластины. Оптический сигнал генерирует неравновесные носители (НН) в фоточувствительном слое, и область их повышенной концентрации регистрируется при опросе матрицы. Соотношение между размерами этой области и проекцией сигнала на верхнее основание пластины определяет пространственное разрешение рассматриваемых приемников.